

**Abschlusspräsentation Wissenschaftliches Individualprojekt:  
„Evaluation of Point Cloud Geometry Compression on Sparse and Non-uniform Data“**



# 1 Einleitung und Motivation

- Punktwolken sind flexibel, vielseitige Anwendungsfälle
    - z.B. Autonomes fahren, AR/VR, Digitales Modellieren
  - Größe der übertragenen Daten wächst schnell mit Aufnahmedauer
    - z.B. FIN Hörsaal: ~ 2M Punkte nach 300s
- Kompression der Punktwolken notwendig

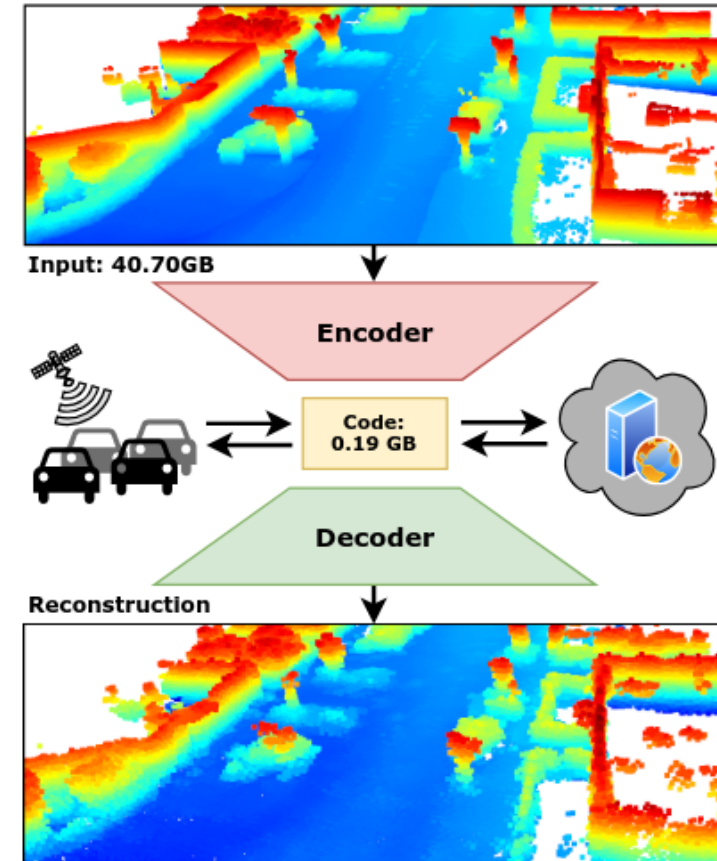
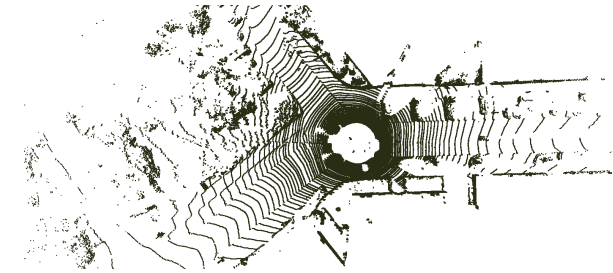


Fig. 1: Kompressionsworkflow [1]



## 1.1 Punktwolkenkompression

- Übliche Datensätze:
  - $\text{Kitti}^1[2]$ ,  $\text{Shapenet}^2[3]$ ,  $8i\text{VFB}^2[4]$
- Lücke in aktueller Literatur:
  - Dünnbesetzte, ungleichmässig dichte Daten von Innenräumen



**Fig. 2:** Oben nach unten:  $\text{Kitti}[2]$ ,  $\text{Shapenet}[3]$ ,  $8i\text{VFB}[4]$

<sup>1</sup>Dünnbesetzt, Outdoor

<sup>2</sup>Dichtbesetzt, Objekte

## 2 Ziel des Projekts

- Evaluierung von Punktwolkenkompression auf bisher unerforschter Art von Daten
  - Einheitlicher Vergleich von Algorithmen
  - „Welcher Algorithmus ist am besten geeignet?“
- Fokus:
  - Innenräume
  - Dünnbesetzt und ungleichmässige Dichte
  - Veröffentlichter Quellcode
  - verlustfreie („lossless“) Algorithmen

### 3 Konzept

- Kompression sollte zeitlich effizient sein
  - Schnelle Übermittlung, aber langsame Kompression ist nicht zielführend
  - Rekonstruierte Punktwolke sollte möglichst ähnlich sein
  - **Problem:**
    - Bisher wurde keine Evaluation auf dieser Art Daten ausgeführt
- Auswahl des Algorithmus nicht trivial

### 3 Konzept

- Erster, einheitlicher Vergleich von Kompressionsalgorithmen auf dieser Art von Daten
- Dafür benötigt:
  1. Auswahl von Algorithmen
  2. Auswahl des Datensatzes
  3. Bewertungsmetriken



## 3.1 Algorithmen in der Literatur

- Quellcode muss verfügbar sein
  - KI-basierte Verfahren: Inkl. Vortrainiertes Modell
- Muss auf Punktwolken im .ply Dateiformat mit 32bit Präzision arbeiten

Algorithmus	Quellcode (& Modell) vorhanden?	Dateiformat	Präzision
<b>draco</b> [5]	✓	PLY, OBJ, STL	float32
<b>pccomp</b> [6]	✓	PLY, OBJ, STL, PCD	Numpy <sup>3</sup>
<b>tmc3</b> [7]	✓	PLY	PLY <sup>3</sup>
<b>sparsePCGC</b> [8]	✓	PLY, H5, BIN	float32
DPCC[9]	×	PLY, XYZ, BIN	float32
Unicorn[10], [11]	×	PLY, H5, BIN	float32
Depoco[1]	×	PLY, BIN	float32
Mpeg Anchor[12]	×	?	?

<sup>3</sup>Alle Präzisionen (inkl. float32)

### 3.1.1 Auswahl der Algorithmen

- Exkludiert:
  - DPCC:
    - Trainieren des Modells notwendig
    - Datenvorbereitung erwartet KITTI oder ShapeNet
  - Unicorn:
    - Kein Quellcode, keine Modelle
  - Depoco:
    - Trainieren des Modells notwendig
  - Mpeg Anchor:
    - Kein Quellcode
- Inkludiert: draco, pccomp, tmc3, sparsePCGC





### 3.1.2 Benutzung der ausgewählten Algorithmen

- Draco:
  - Binaries aus Evaluationsskript aufrufen
- pccomp:
  - Python Funktionen aus Evaluationsskript aufrufen
- tmc3:
  - Binaries aus Evaluationsskript aufrufen
  - Benutzter Datensatz zu klein, setze `--inputScale=100` und `--outputUnitLength=100`
- sparsePCGC:
  - Docker Entwicklungsumgebung der Autoren
  - Benutzter Datensatz zu klein, manuelle Skalierung nötig (`open3D[13]`)
  - Verschieben des Mittelpunktes



## 3.2 Ausgewählter Datensatz: FIN[14]

- Aufnahmen in der Fakultät für Informatik der OvGU
- Vier Szenen:
  - Hörsaal (307)
  - Flur
  - Büro (425)
  - Konferenzraum (333)
- Konvertierung: .pcd  $\rightarrow$  .ply und 64bit  $\rightarrow$  32bit



**Fig. 3:** FIN Datensatz, Hörsaal Szene [14]



## 4 Evaluierung

- Hardware:
  - Intel Core i7-12700KF CPU
  - Nvidia 4070 RTX GPU
  - 32 GB DDR5 RAM
- Bewertungsmetriken
  - Berechnungsdauer
    - Enkodierung, Dekodierung
  - Kompressionsrate bpp (bits per point)
  - Enkodierte Dateigröße
  - Qualität der Rekonstruierten Punktwolke
    - Strukturelle Ähnlichkeitsmetrik PointSSIM [15]

$$t_{\text{enc/dec}} = \frac{\text{Berechnungszeit}}{|\text{Points in Original Cloud}|}$$

$$\text{bpp} = \frac{\text{Encoded File size (bits)}}{|\text{Points in Original Cloud}|}$$



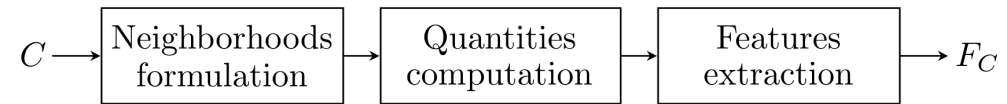
## 4.1 Strukturelle Ähnlichkeitsmetrik PointSSIM<sup>4</sup>

- Feature Extrahierung:
  - Nutze lokale Nachbarschaften um jeden punkt
  - Quantitäten: Euklidische Distanz & Krümmung
  - Wende Streuungsschätzer<sup>5</sup> auf Quantitäten an
- Strukturelle Ähnlichkeit:
  - Berechne relativen Unterschied zwischen Features
  - Berechne Gesamtwert über Fehler Pooling:

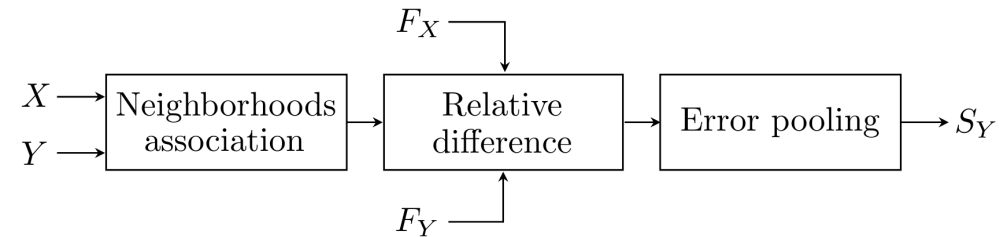
$$S_Y = \frac{1}{N} \sum_{p=1}^N S_Y(p)$$

<sup>4</sup><https://github.com/mmosp/pointssim>

<sup>5</sup>u.a. median, Varianz, MAD

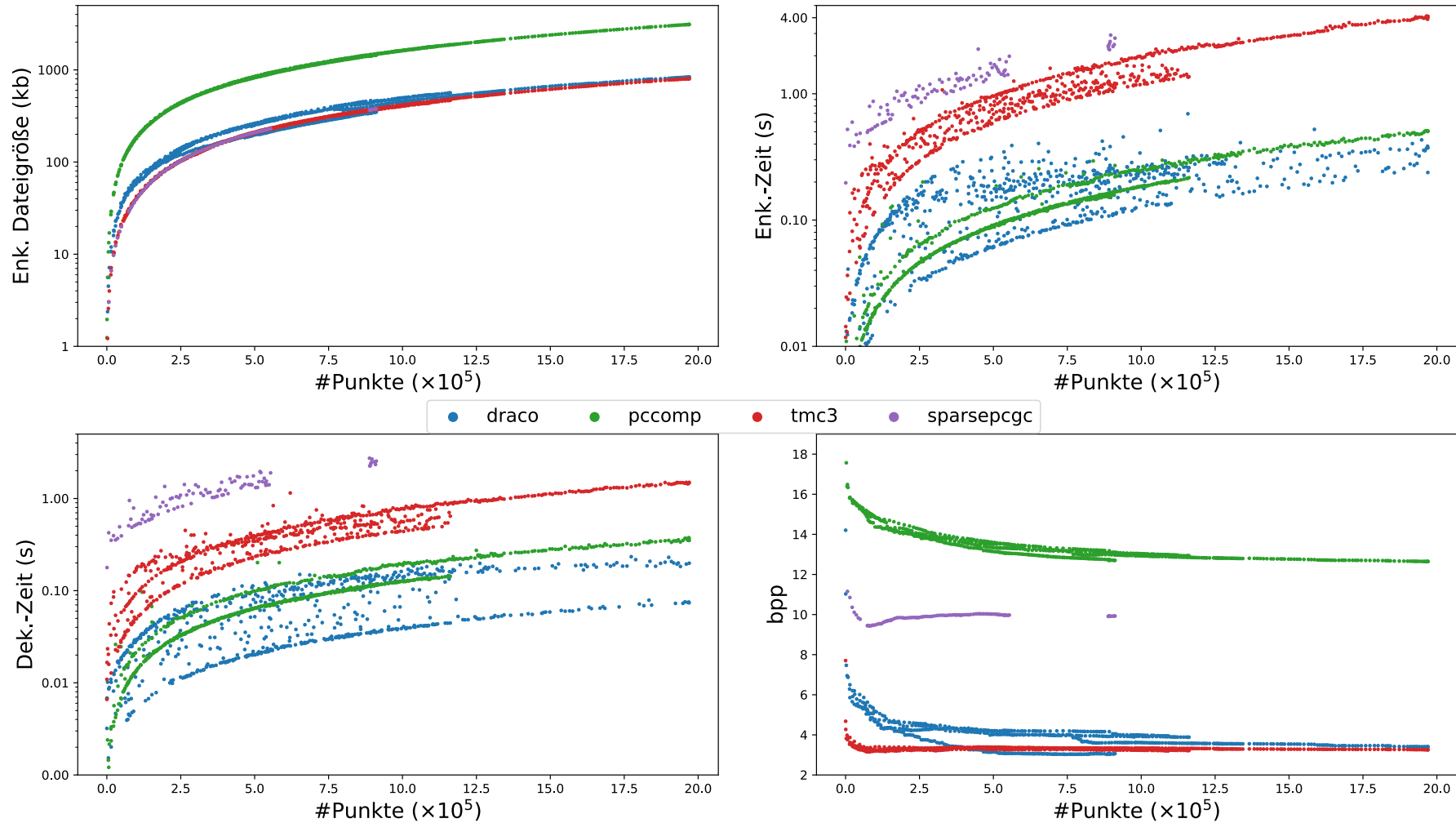


**Fig. 4:** Feature Extrahierung [15, Fig. 1]



**Fig. 5:** Strukturelle Ähnlichkeitsberechnung [15, Fig. 2]

## 4.2 Kompressionsrate & Berechnungszeiten



**Fig. 6:** Kompressionsrate & Berechnungszeiten

## 4.3 Strukturelle Ähnlichkeit

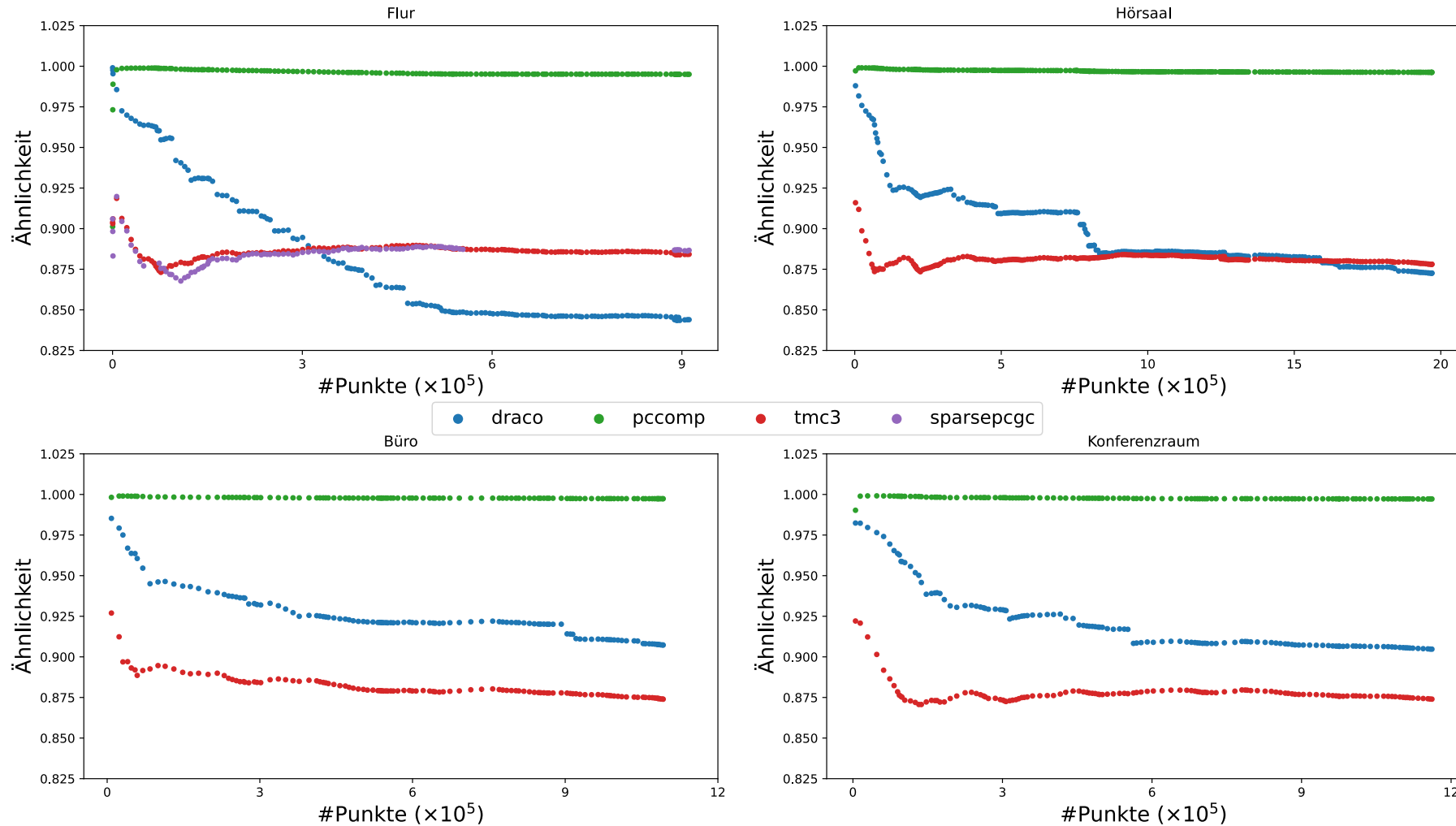


Fig. 7: Strukturelle Ähnlichkeit



## 5 Fazit

- tmc3, sparsePCGC:
  - Im Vergleich deutlich langsamer
  - niedrigste Ähnlichkeit
  - Datensatzskalierung ist ein Faktor
- pccomp:
  - Höchste Ähnlichkeit, geringste Berechnungszeiten
  - **aber**: geringste Kompressionsrate
- draco:
  - Knapp schlechter als pccomp in Ähnlichkeit und Berechnungszeit
  - **aber**: deutlich bessere Kompressionsrate
- draco überzeugt insgesamt am meisten
- Quellcode und Ergebnisse: <https://github.com/lupeterm/pc-compression>

Algorithmus	PSSIM	bpp	Enk.-Zeit <sup>1</sup>	Dek.-Zeit <sup>1</sup>
tmc3	0.882	<b>3.31</b>	1925ns	938ns
sparsePCGC	0.885	9.86	6238ns	5780ns
pccomp	<b>0.997</b>	13.54	<b>281ns</b>	<b>173ns</b>
draco	0.903	4.025	396ns	220ns

<sup>1</sup>Durchschnittliche Zeit pro Punkt



## References

- [1] L. Wiesmann, A. Milioto, X. Chen, C. Stachniss, und J. Behley, „Deep Compression for Dense Point Cloud Maps“, *IEEE Robotics and Automation Letters (RA-L)*, Bd. 6, Nr. 2, S. 2060–2067, 2021, doi: 10.1109/LRA.2021.3059633.
- [2] J. Behley u. a., „SemanticKITTI: A Dataset for Semantic Scene Understanding of LiDAR Sequences“, in *Proc. of the IEEE/CVF International Conf.~on Computer Vision (ICCV)*, 2019.
- [3] A. X. Chang u. a., „ShapeNet: An Information-Rich 3D Model Repository“, *ArXiv*, 2015, [Online]. Verfügbar unter: <https://api.semanticscholar.org/CorpusID:2554264>
- [4] „Pleno Database: 8i Voxelized Full Bodies (8iVFB v2) - A Dynamic Voxelized Point Cloud Dataset“. [Online]. Verfügbar unter: <http://plenodb.jpeg.org/pc/8ilabs>
- [5] google, „GitHub - google/draco: Draco is a library for compressing and decompressing 3D geometric meshes and point clouds. It is intended to improve the storage and transmission of 3D graphics.“. [Online]. Verfügbar unter: <https://github.com/google/draco>





- [6] Szppaks, „GitHub - szppaks/pccomp\_oct: Octree-based lossy point-cloud compression with open3d and numpy“. [Online]. Verfügbar unter: [https://github.com/szppaks/pccomp\\_oct](https://github.com/szppaks/pccomp_oct)
- [7] MPEGGroup, „GitHub - MPEGGroup/mpeg-pcc-tmc13: Geometry based point cloud compression (G-PCC) test model“. [Online]. Verfügbar unter: <https://github.com/MPEGGroup/mpeg-pcc-tmc13>
- [8] D. Ding, Z. Li, X. Feng, C. Cao, und Z. Ma, „Sparse Tensor-based Multiscale Representation for Point Cloud Geometry Compression“, 2022, doi: 10.48550/arXiv.2111.10633.
- [9] Y. He, X. Ren, D. Tang, Y. Zhang, X. Xue, und Y. Fu, „Density-preserving Deep Point Cloud Compression“, in *Proceedings of the IEEE/CVF Conference on Computer Vision and Pattern Recognition (CVPR)*, 2022.
- [10] J. Wang, R. Xue, J. Li, D. Ding, Y. Lin, und Z. Ma, „A Versatile Point Cloud Compressor Using Universal Multiscale Conditional Coding – Part I: Geometry“, *IEEE Transactions on Pattern Analysis and Machine Intelligence*, Bd. 47, Nr. 1, 2025, doi: 10.1109/TPAMI.2024.3462938.



- [11] J. Wang, R. Xue, J. Li, D. Ding, Y. Lin, und Z. Ma, „A Versatile Point Cloud Compressor Using Universal Multiscale Conditional Coding – Part II: Attribute“, *IEEE Transactions on Pattern Analysis and Machine Intelligence*, Bd. 47, Nr. 1, 2025, doi: 10.1109/TPAMI.2024.3462945.
- [12] R. Mekuria, K. Blom, und P. Cesar, „Design, Implementation, and Evaluation of a Point Cloud Codec for Tele-Immersive Video“, *IEEE Transactions on Circuits and Systems for Video Technology*, Bd. 27, Nr. 4, S. 828–842, 2017, doi: 10.1109/TCSVT.2016.2543039.
- [13] Q.-Y. Zhou, J. Park, und V. Koltun, „Open3D: A Modern Library for 3D Data Processing“. [Online]. Verfügbar unter: <https://arxiv.org/abs/1801.09847>
- [14] L. Petermann und F. Ortmeier, „Comparison of Real-Time Plane Detection Algorithms on Intel RealSense“, 2023. [Online]. Verfügbar unter: <https://api.semanticscholar.org/CorpusID:259343618>
- [15] E. Alexiou und T. Ebrahimi, „Towards a Point Cloud Structural Similarity Metric“, in *2020 IEEE International Conference on Multimedia & Expo Workshops (ICMEW)*, 2020, S. 1–6. doi: 10.1109/ICMEW46912.2020.9106005.

- [16] I. Armeni, S. Sax, A. R. Zamir, und S. Savarese, „Joint 2D-3D-Semantic Data for Indoor Scene Understanding“. [Online]. Verfügbar unter: <https://arxiv.org/abs/1702.01105>
- [17] E. Alexiou, I. Viola, T. M. Borges, T. A. Fonseca, R. L. de Queiroz, und T. Ebrahimi, „A comprehensive study of the rate-distortion performance in MPEG point cloud compression“, *APSIPA Transactions on Signal and Information Processing*, Bd. 8, Nr. 1, S. –, 2019, doi: 10.1017/ATSIP.2019.20.

**Danke für ihre Aufmerksamkeit!**  
**Fragen?**

## Appendix



## Vergleich: Datensatz Dichte

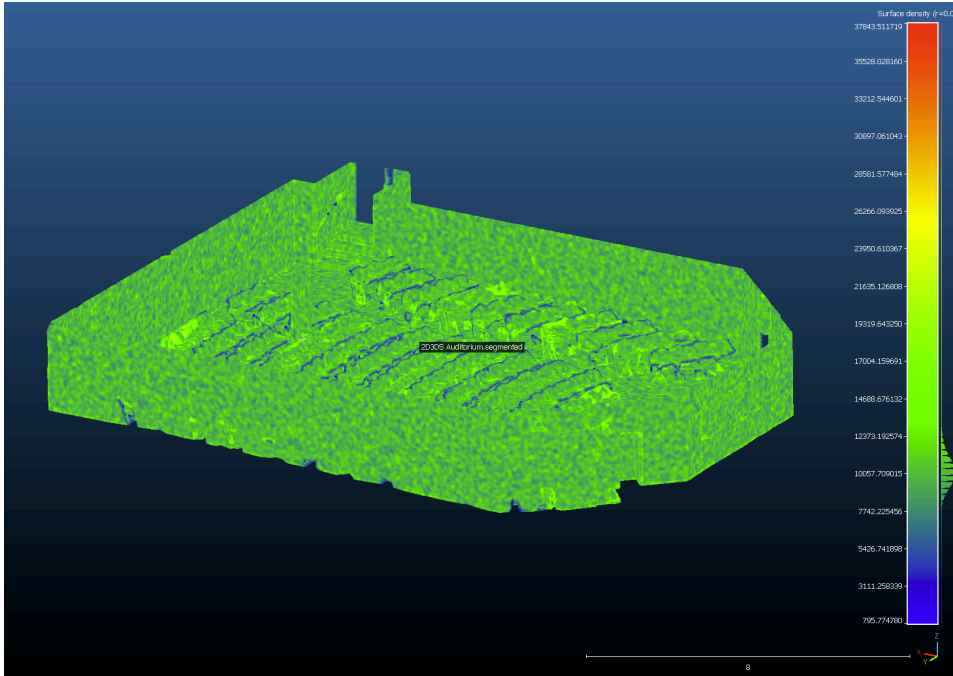


Fig. 8: 2D3DS [16] Hörsaal Dichte

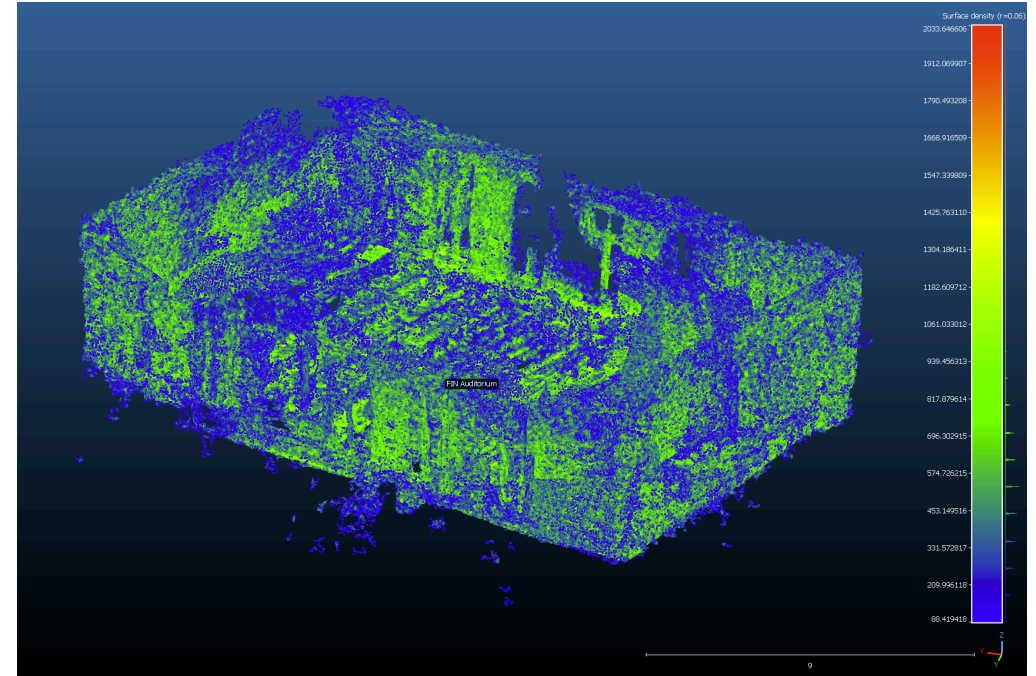


Fig. 9: FIN [14] Hörsaal Dichte



## PointSSIM Gleichungen

$$\mu AD_A = E(A - \mu_A)$$

$$mAD_A = E(A - m_A)$$

$$COV_A = \frac{\sigma_A}{\mu_A}$$

$$QCD_A = \frac{Q_A(3) - Q_A(1)}{Q_A(3) + Q_A(1)}$$

**Fig. 10:** Streuungsschätzer [15, Eqs.1-4]

$$S_Y(p) = \frac{|F_X(q) - F_Y(p)|}{\max\{|F_X(q)|, |F_Y(p)|\} + \varepsilon}$$

**Fig. 11:** Berechnung Relativer Fehler der Features [15, Eq. 5]

$$S_Y = \frac{1}{N_p} \sum_{p=1}^{N_p} S_Y(p)^k$$

**Fig. 12:** Berechnung Fehler der Ganzen Punktwolke.  $k \in \{1, 2\}$  [15, Eq. 6]

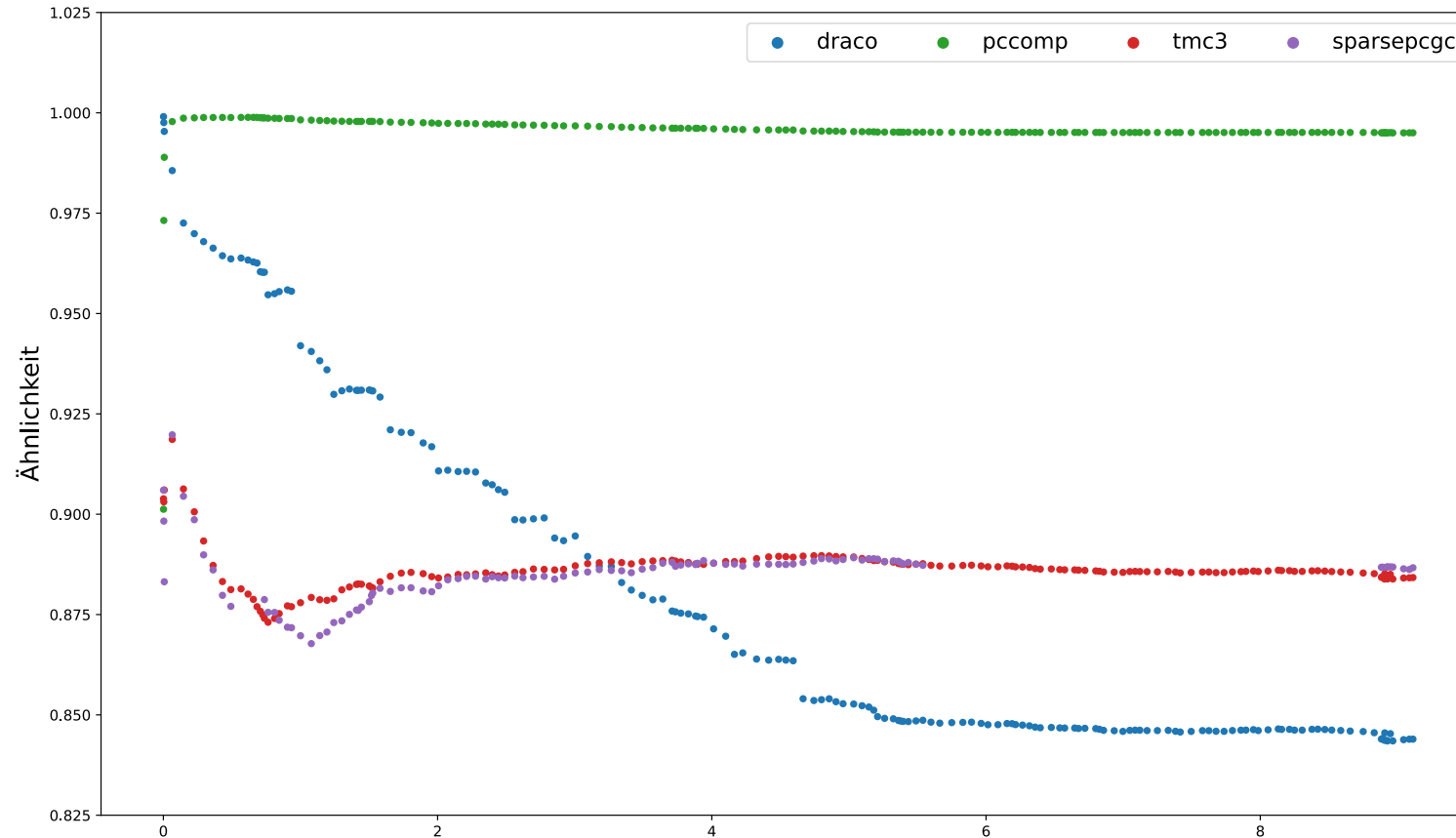


Fig. 13: Ähnlichkeitswert Flur



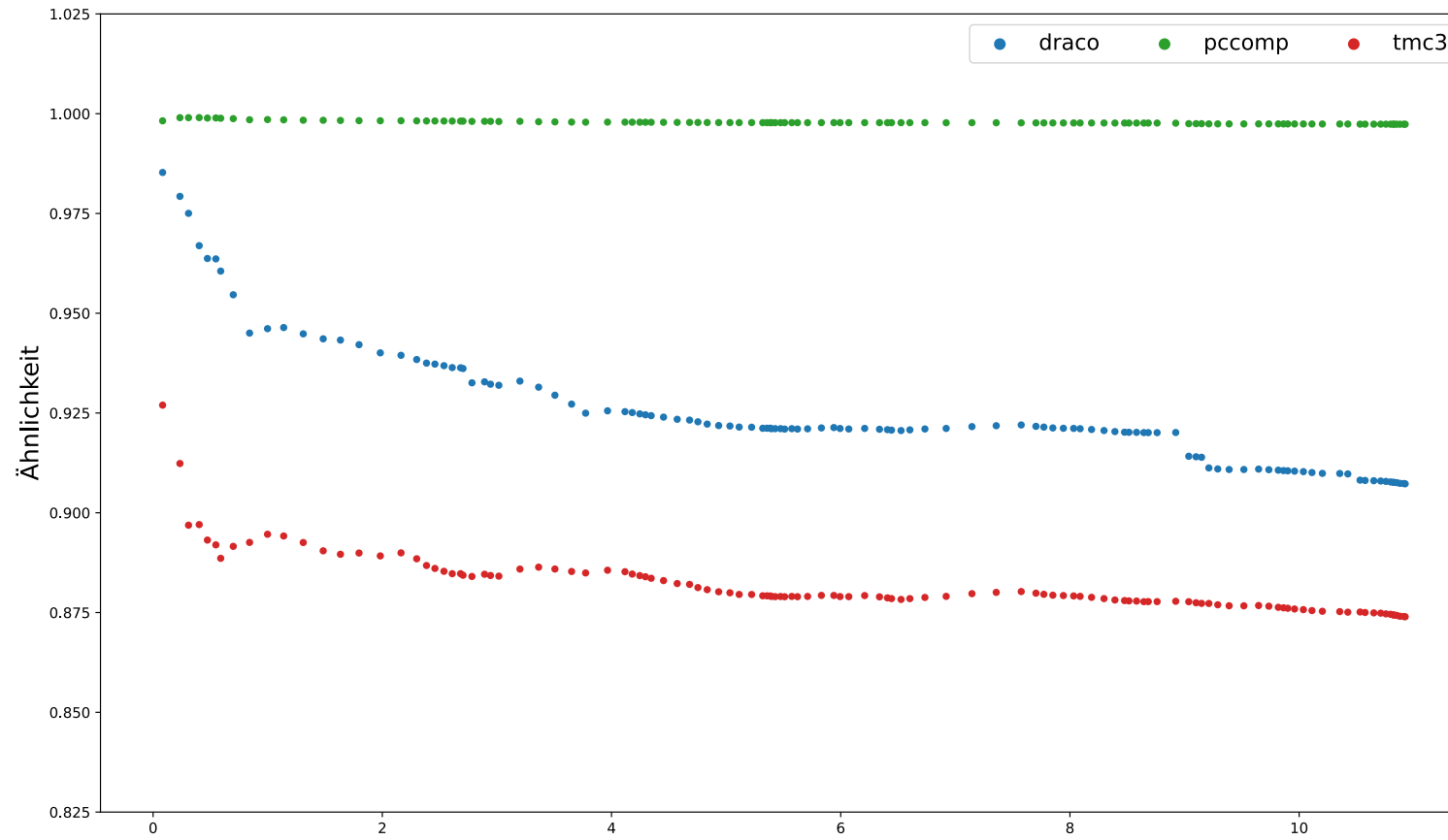
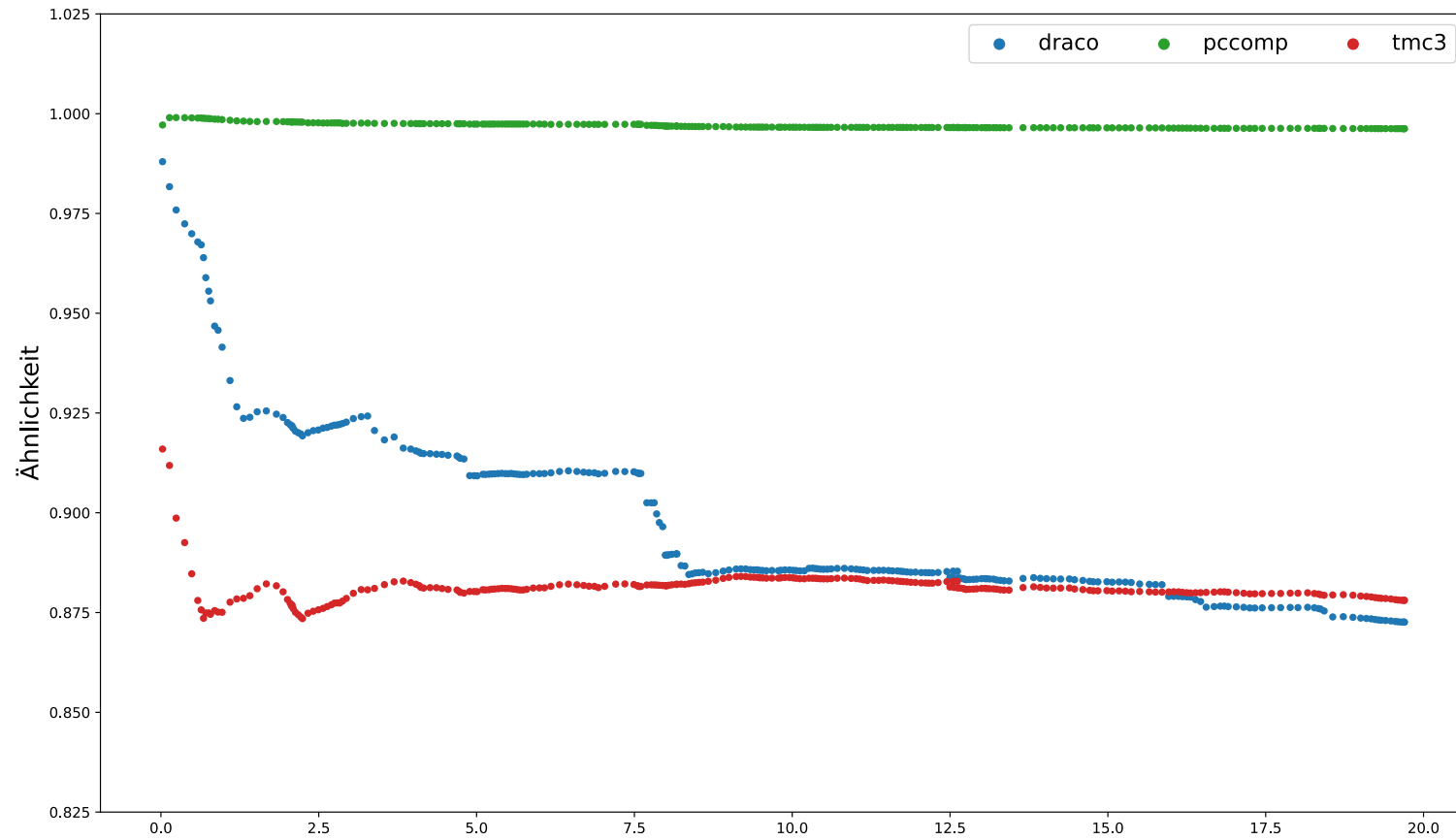
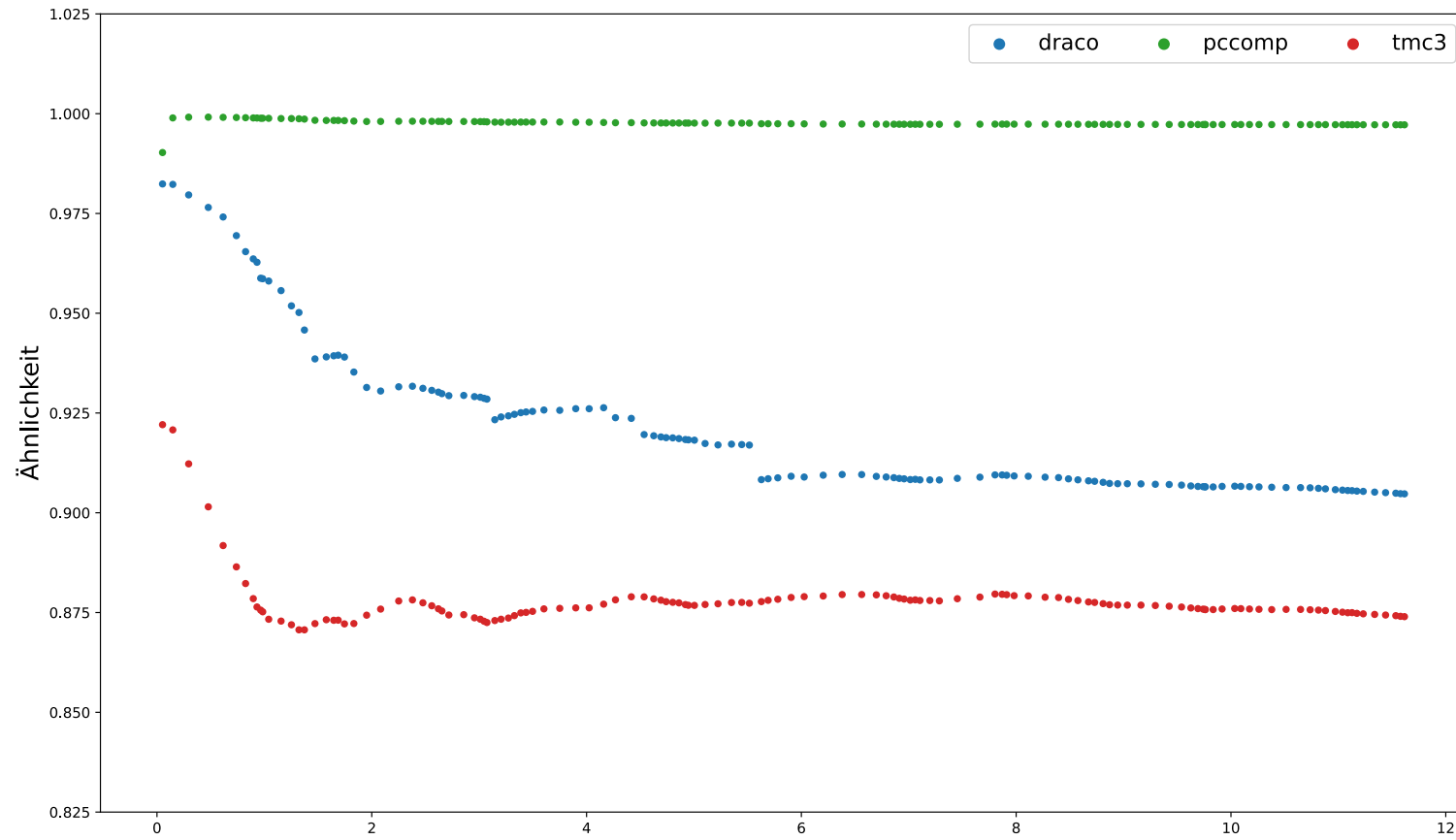


Fig. 14: Ähnlichkeitswert Büro



**Fig. 15:** Ähnlichkeitswert Hörsaal



**Fig. 16:** Ähnlichkeitswert Konferenzraum

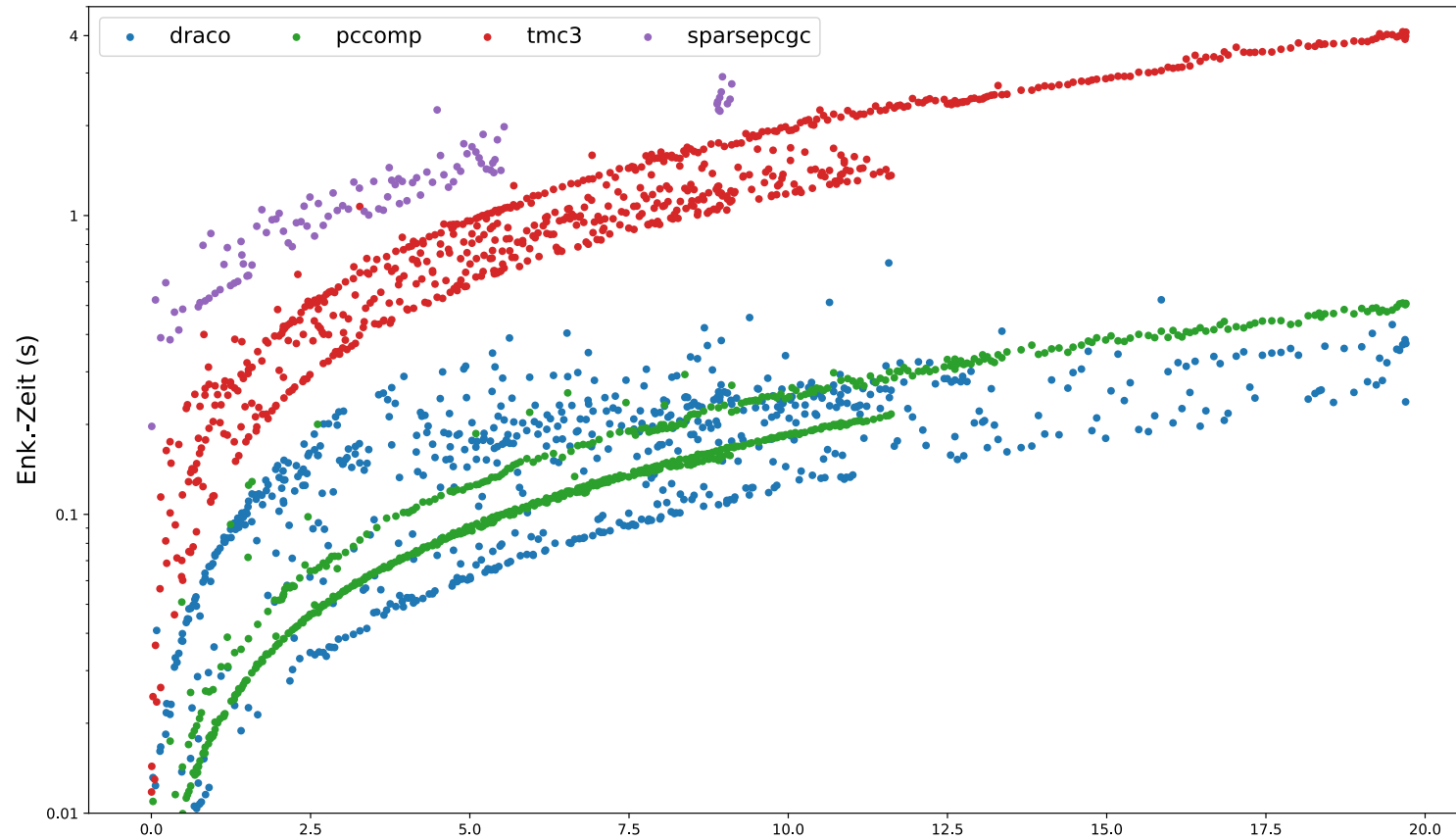


Fig. 17: Enkodierungszeit

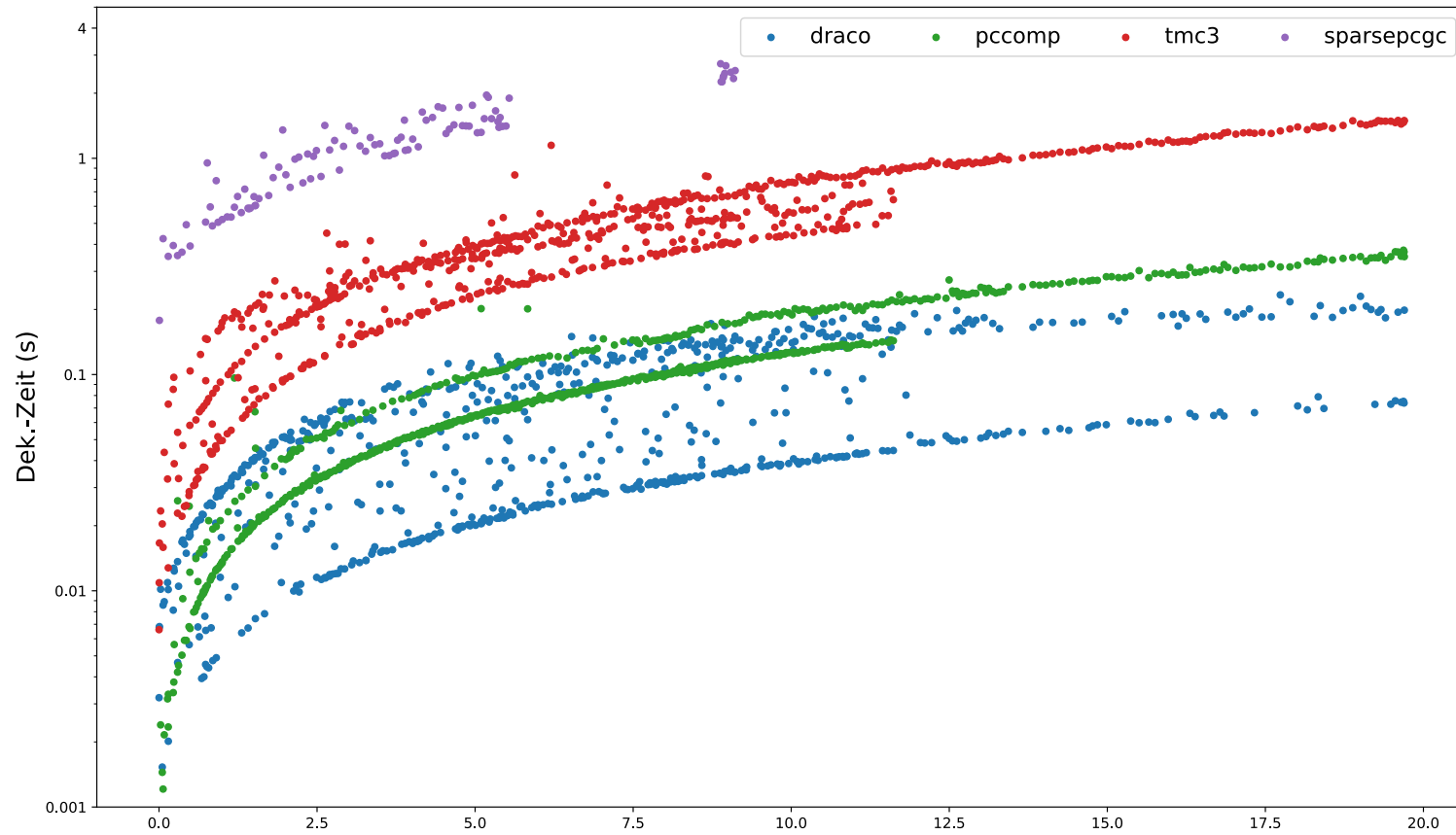


Fig. 18: Dekodierungszeit

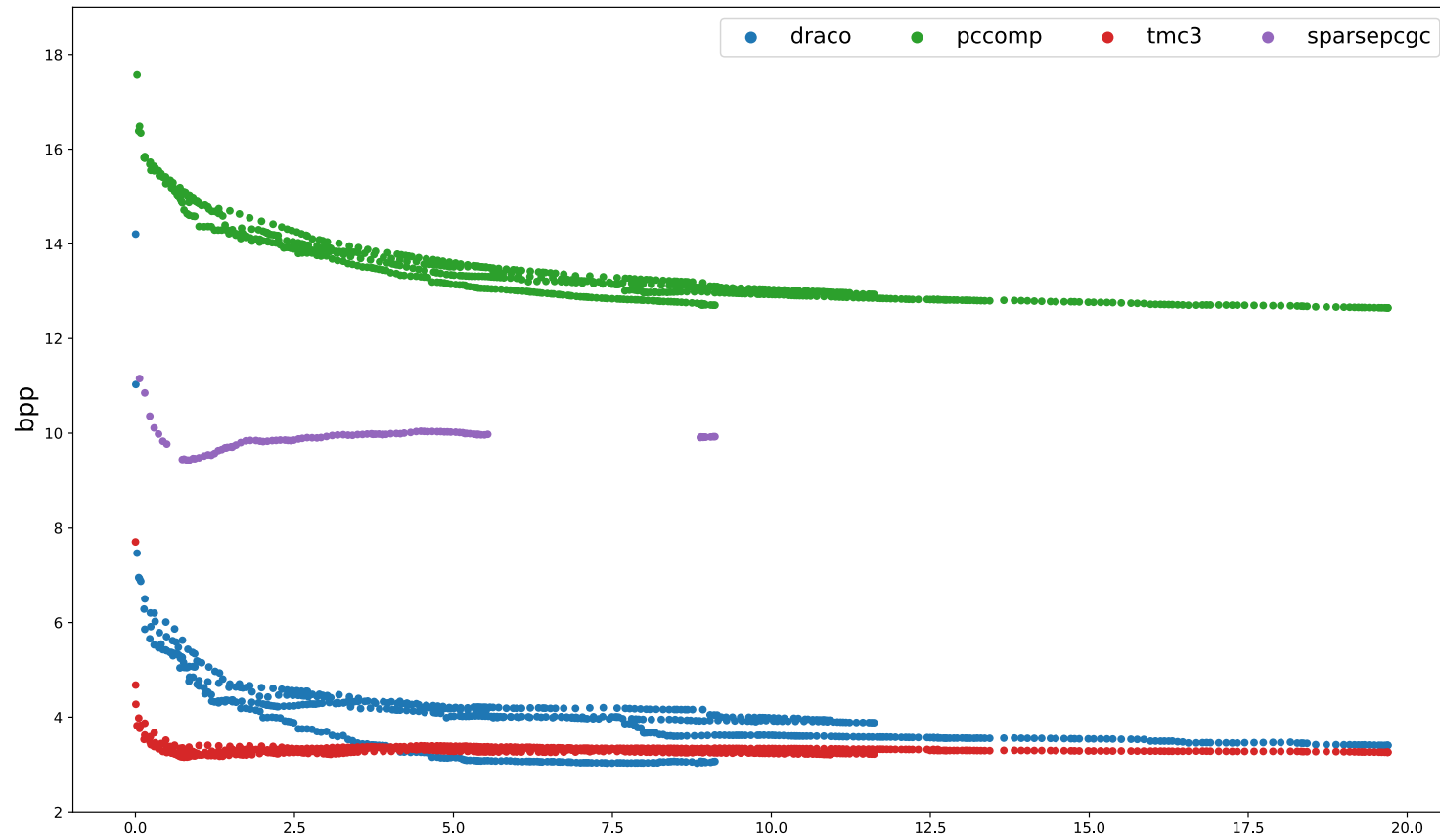
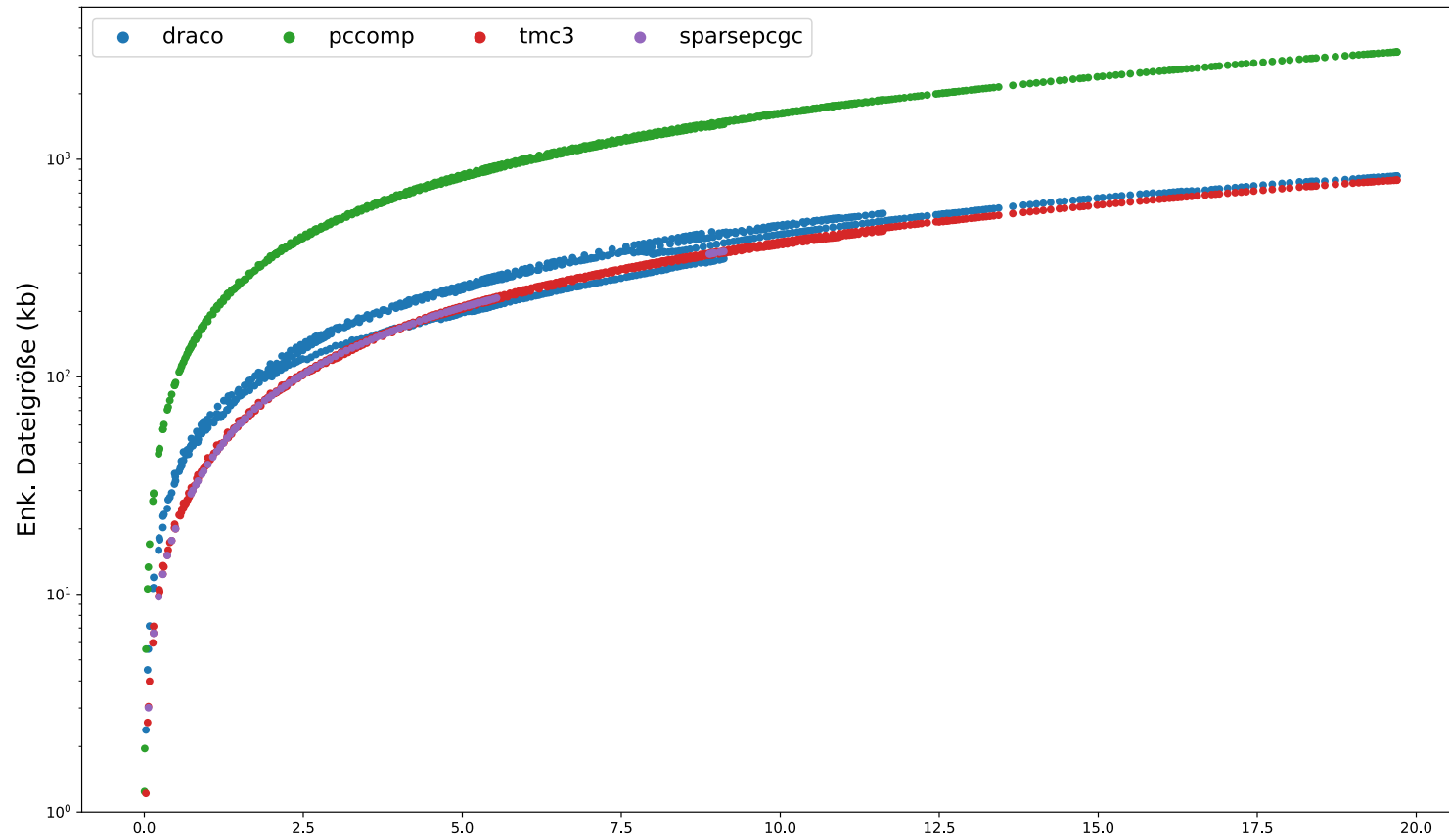


Fig. 19: Bits pro Punkt



**Fig. 20:** Enk. Dateigröße